

I. Excitation paramétrique d'un pendule simple

1. On pourra supposer le pendule simple si :

- la masse de la tige est faible devant la masse du point M

- La longueur l de la tige est grande devant la longueur caractéristique de la masse m

2. Dans R_0 galiléen, on applique la loi scalaire du moment cinétique (LSCM) au pendule {tige sans masse + masse m en M} par rapport à l'axe fixe Ay :

$$\frac{dL(Ay)}{dt} = \text{eff}_{\text{ext} \rightarrow \text{pendule}}(Ay)$$

$$\text{Oma: } L(Ay) = \vec{L}(A) \cdot \vec{v}_y = (\vec{AM} \wedge m\vec{v}_{M/R_0}) \cdot \vec{v}_y = (l\vec{m} \wedge ml\dot{\theta}\vec{i}) \cdot \vec{v}_y = ml^2\dot{\theta}$$

$$\text{eff}_{\text{ext} \rightarrow \text{pendule}}(Ay) = \text{eff}_{\text{liaison}}(Ay) + \text{eff}_{\text{poids}}(Ay)$$

$$= 0 \text{ (liaison parfaite)} - mg\cancel{l \sin \theta} \text{ bras de levier du poids}$$

$$\text{donc: } ml^2\ddot{\theta} = -mgl \sin \theta \Rightarrow \ddot{\theta} + \omega_0^2 \sin \theta = 0 \quad \text{avec: } \omega_0 = \sqrt{\frac{g}{l}}$$

3. Pour de petits angles, on a des oscillations sinusoidales de période $T_0 = \frac{2\pi}{\omega_0}$

$$\text{A.N.: } T_0 = 0,9 \text{ s}$$

4. On se place dans le référentiel non galiléen R_1 , où l'axe Ay est fixe

$$\text{On ajoute la force d'inertie d'entraînement: } \vec{F}_{ie} = -m\vec{a}_{M/R_0} = -m\ddot{h}\vec{i}$$

On peut alors reprendre l'équation de la question 2 en remplaçant g par $g - \ddot{h}$

$$\Rightarrow ml^2\ddot{\theta} = -m(g - \ddot{h})l \sin \theta \Rightarrow \ddot{\theta} = -g(1 - \frac{\ddot{h}}{g}) \sin \theta \quad \text{On pose: } G = \frac{\ddot{h}}{g}$$

$$\text{d'où: } \ddot{\theta} + \omega_0^2(1 - G) \sin \theta = 0$$

5. Dans R_0 galiléen, on applique la loi de la quantité de mouvement (LQDM) au pendule:

$$m\vec{a}_{M/R_0} = \vec{F}_{\text{ext} \rightarrow \text{pendule}} = \vec{mg} + \vec{R} \quad \text{d'où: } \vec{R} = m(\vec{a}_{M/R_0} - \vec{g})$$

$$\text{Oma: } \vec{OM} = (h + l \cos \theta)\vec{i}_z + l \sin \theta \vec{i}_x$$

$$\vec{v}_{M/R_0} = (\dot{h} - l\ddot{\theta} \sin \theta)\vec{i}_z + l\dot{\theta} \cos \theta \vec{i}_x$$

$$\vec{a}_{M/R_0} = (\ddot{h} - l\ddot{\theta} \sin \theta - l\dot{\theta}^2 \cos \theta)\vec{i}_z + (l\ddot{\theta} \cos \theta - l\dot{\theta}^2 \sin \theta)\vec{i}_x$$

$$\text{d'où: } \vec{R} = m \begin{cases} \ddot{h} - l\ddot{\theta} \sin \theta - l\dot{\theta}^2 \cos \theta - g \\ l\ddot{\theta} \cos \theta - l\dot{\theta}^2 \sin \theta \\ 0 \end{cases}$$

$$\text{On remplace: } \begin{cases} \ddot{h} \text{ par } Gg \text{ et } l \text{ par } \frac{g}{\omega_0^2} \\ \dot{\theta}^2 \text{ par } U \omega_0^2 \\ \ddot{\theta} \text{ par } -\omega_0^2(1-G) \sin \theta \end{cases}$$

$$\vec{R} = m \begin{cases} Gg + \frac{g}{\omega_0^2} \cdot \omega_0^2(1-G) \sin^2 \theta - \frac{g}{\omega_0^2} U \omega_0^2 \cos \theta - g \\ \frac{g}{\omega_0^2} (-\omega_0^2(1-G) \sin \theta) \cos \theta - \frac{g}{\omega_0^2} U \omega_0^2 \sin \theta \\ 0 \end{cases} = mg \begin{cases} G - 1 + (1-G) \sin^2 \theta - U \cos \theta \\ -(1-G) \sin \theta \cos \theta - U \sin \theta \\ 0 \end{cases}$$

$$\vec{R} = mg \begin{vmatrix} (1-G)(\sin^2\theta - 1) - U \cos\theta & -(1-G)\cos^2\theta - U \sin\theta \\ -(1-G)\sin\theta \cos\theta - U \sin\theta & -(1-G)\sin\theta \cos\theta - U \sin\theta \end{vmatrix}$$

Finalement: $\vec{R} = -mg \left[\cos\theta ((1-G)\cos\theta + U) \vec{v}_z + \sin\theta ((1-G)\cos\theta + U) \vec{v}_x \right]$

6. $\frac{\dot{\theta}}{\omega_0}$ est un infiniment petit d'ordre 1, donc $U = \frac{\dot{\theta}^2}{\omega_0^2}$ est d'ordre 2.

$$\left(1 - \frac{\dot{\theta}^2}{\omega_0^2}\right) \left[(1-G) \left(1 - \frac{\dot{\theta}^2}{\omega_0^2}\right) + U \right] \quad \left(1 - \frac{\dot{\theta}^2}{\omega_0^2}\right)^2 \approx 1 - \dot{\theta}^2 \text{ à l'ordre 2}$$

On a: $\vec{R} \approx -mg \begin{vmatrix} 0 & \left[(1-G) \left(1 - \frac{\dot{\theta}^2}{\omega_0^2}\right) + U \right] \\ 0 & 0 \end{vmatrix}$ $0.U$ est d'ordre 3 donc négligeable

Il reste: $\vec{R} = -mg \left[((1-G)(1-\dot{\theta}^2) + U) \vec{v}_z + (1-G)\dot{\theta} \vec{v}_x \right]$

7. $P(t) = \vec{R} \cdot \vec{V}_{A/R_0} = \vec{R} \cdot \dot{h} \vec{v}_z$ donc: $P(t) = -mg \left[(1-G)(1-\dot{\theta}^2) + U \right] \dot{h}$

8. $P(t) = -mg \left[1 - \dot{\theta}^2 + \frac{\dot{\theta}^2}{\omega_0^2} \right] \dot{h}$
 $= -mg \left[1 - A^2 \sin^2 \omega_0 t + A^2 \cos^2 \omega_0 t \right] a \Omega \cos(\Omega t + \phi)$

$P(t) = -mga\Omega \left[1 + A^2 \cos 2\omega_0 t \right] \cos(\Omega t + \phi)$

9. $P(t) = -mga\Omega \left[\cos(\Omega t + \phi) + \frac{A^2}{2} \cos((2\omega_0 + \Omega)t + \phi) + \frac{A^2}{2} \cos((2\omega_0 - \Omega)t - \phi) \right]$

Les deux premiers cos ne peuvent pas être constant en moyenne sur $[t, t+T_0]$
Le troisième peut l'être si: $2\omega_0 - \Omega = 0$. La condition est donc: $\underline{\Omega = 2\omega_0}$

On a alors: $P(t) = -mga\Omega \left[\underbrace{\cos(2\omega_0 t + \phi)}_{=0 \text{ en moyenne}} + \frac{A^2}{2} \underbrace{\cos(4\omega_0 t + \phi)}_{=0 \text{ en moyenne}} + \frac{A^2}{2} \cos\phi \right]$

donc: $P_m = -mga\Omega \cdot \frac{A^2}{2} \cos\phi$ soit: $P_m = -mga\omega_0 A^2 \cos\phi$

• P_m maximale si $\cos\phi = -1$ donc: $\underline{\phi = \pi [2\pi]}$

$P_m^* = mga\omega_0 A^2$

10. Maintenant: $P(t) = -mg \left[(1-G)(1-A^2 \sin^2 \omega_0 t) + A^2 \cos^2 \omega_0 t \right] a \cdot 2\omega_0 \cdot \cos(2\omega_0 t + \phi)$

$$P(t) = -mga \cdot 2\omega_0 \left[1 + A^2 \cos 2\omega_0 t - G(1 - A^2 \sin^2 \omega_0 t) \right] \cos(2\omega_0 t + \phi)$$

$$= P(t)_{\text{question 8}} + mga \cdot 2\omega_0 \cdot G(1 - A^2 \sin^2 \omega_0 t) \cdot \cos(2\omega_0 t + \phi)$$

$$= P(t)_{\text{question 8}} + mga \cdot 2\omega_0 G \left(1 - A^2 \frac{1 - \cos 2\omega_0 t}{2} \right) \cdot \cos(2\omega_0 t + \phi)$$

$$= P(t)_{\text{question 8}} + mga \cdot 2\omega_0 G \left[\left(1 - \frac{A^2}{2}\right) \cos(2\omega_0 t + \phi) + \frac{A^2}{2} \cos 2\omega_0 t \cdot \cos(2\omega_0 t + \phi) \right]$$

$$= P(t)_{\text{question 8}} + mga \cdot 2\omega_0 G \left[\left(1 - \frac{A^2}{2}\right) \cos(2\omega_0 t + \phi) + \frac{A^2}{4} \cos(4\omega_0 t + \phi) + \frac{A^2}{4} \cos\phi \right]$$

$$\text{On: } G = \frac{\ddot{h}}{g} = -\frac{a^4 \omega_0^2 \sin(2\omega_0 t + \phi)}{g}$$

$$P(t) = P(t)_{\text{question 8}} - 8ma^2\omega_0^3 \sin(2\omega_0 t + \phi) \left[\left(1 - \frac{A^2}{2}\right) \cos(2\omega_0 t + \phi) + \frac{A^2}{4} \cos(4\omega_0 t + \phi) + \frac{A^2}{4} \cos(\phi) \right]$$

On a: $\sin(2\omega_0 t + \phi) \cos(2\omega_0 t + \phi) = \frac{1}{2} \sin(4\omega_0 t + 2\phi)$ de valeur moyenne nulle

$\sin(2\omega_0 t + \phi) \cos(4\omega_0 t + \phi) = \frac{1}{2} (\sin(6\omega_0 t + 2\phi) - \sin(2\omega_0 t))$ de valeur moyenne nulle

$\sin(2\omega_0 t + \phi)$ de valeur moyenne nulle

Conclusion: Le terme supplémentaire est de valeur moyenne nulle. La puissance moyenne P_m est inchangée

11. On calcule tout d'abord l'énergie mécanique moyenne E_m du pendule sur $[t, t + T_0]$

$$\begin{aligned} E = E_c + E_p &= \frac{1}{2} m \vec{v}_{M/R_0}^2 - mgz_M \\ &= \frac{1}{2} m \left[(\dot{h} - l\dot{\theta} \sin\theta)^2 + l^2 \dot{\theta}^2 \cos^2\theta \right] - mg(h + l \cos\theta) \\ &= \frac{1}{2} m \left[\dot{h}^2 - 2l\dot{h}\dot{\theta} \sin\theta + l^2 \dot{\theta}^2 \right] - mgh - mgl \cos\theta \\ &\approx \frac{1}{2} m \left[\dot{h}^2 - 2l\dot{h}\dot{\theta} \sin\theta + l^2 \dot{\theta}^2 \right] - mgh - mgl(1 - \frac{\dot{\theta}^2}{2}) \text{ à l'indiquer en } \theta \text{ et } \frac{\dot{\theta}}{\omega_0} \end{aligned}$$

Dans les conditions les plus favorables: $\{\dot{\theta} = \pi\}$ donc: $\begin{cases} h = -a \sin(2\omega_0 t) \\ \dot{h} = -2a\omega_0 \cos(2\omega_0 t) \end{cases}$

On a: $\theta = A(t) \sin\omega_0 t \Rightarrow \dot{\theta} = \dot{A}(t) \sin\omega_0 t + A(t)\omega_0 \cos\omega_0 t$

$$\text{on: } \left| \frac{\dot{A}}{Aw_0} \right| \sim \frac{A}{Aw_0} \quad \text{où } \tau_A \text{ est le temps caractéristique des variations de } A$$

$$= \frac{1}{\tau_A w_0} = \frac{T_0}{\tau_A} \ll 1 \quad \text{car les variations de } A \text{ sont lentes}$$

donc: $\dot{\theta} \approx Aw_0 \cos\omega_0 t$

$$\begin{aligned} E &= \frac{1}{2} m \left[4a^2 \omega_0^2 \cos^2(2\omega_0 t) + l^2 A^2 \omega_0^2 \cos^2(\omega_0 t) + 2l \cdot 2aw_0 \cdot Aw_0 \cos(2\omega_0 t) \cdot \cos(\omega_0 t) \cdot \sin(\omega_0 t) \right] \\ &\quad + mga \sin(2\omega_0 t) - mgl \left(1 - \frac{1}{2} A^2 \sin^2\omega_0 t\right) \end{aligned}$$

$$\text{On a: } \langle \cos^2(2\omega_0 t) \rangle = \frac{1}{2}$$

$$\cdot \langle \cos^2(\omega_0 t) \rangle = \frac{1}{2}$$

$$\cdot \langle 4 \cos(2\omega_0 t) \cdot \cos(\omega_0 t) \sin(\omega_0 t) \rangle = \langle 2 \cos(2\omega_0 t) \cdot \sin(2\omega_0 t) \rangle = \langle \sin(4\omega_0 t) \rangle = 0$$

$$\cdot \langle \sin(2\omega_0 t) \rangle = 0$$

$$\cdot \langle \sin^2(\omega_0 t) \rangle = \frac{1}{2}$$

$$\text{Il reste: } E_m = \langle E \rangle = \frac{1}{2} m \left[2a^2 \omega_0^2 + \frac{1}{2} l^2 A^2 \omega_0^2 \right] - mgl + \frac{1}{4} mgl A^2$$

$$= ma^2 \omega_0^2 + \frac{1}{4} l^2 A^2 m \frac{g}{\rho} - mgl + \frac{1}{4} mgl A^2$$

$$E_m = \frac{1}{2} mgl A^2 + ma^2 \omega_0^2 - mgl$$

Bilan d'énergie mécanique moyenne entre t et $t+dt$ (avec $dt \gg T_0$):

$$\begin{aligned} E_m(t+dt) &= E_m(t) + P_m^* dt \Rightarrow \frac{dE_m}{dt} = P_m^* \\ &\Rightarrow mg l A \cdot \frac{dA}{dt} = m g a \omega_0 A^2 \\ &\Rightarrow \boxed{\frac{dA}{dt} - \frac{a \omega_0}{l} A = 0} \end{aligned}$$

Solution: $A(t) = A(0) e^{\frac{t}{\tau_A}}$

avec: $\tau_A = \frac{l}{a \omega_0}$

d'où: $T_0 = 2\pi \frac{a}{l}$

12. On utilise deux points de la courbe. Par exemple: $A(16T_0) = A(0) \exp(16 \frac{T_0}{\tau_A}) = 0,05$

$$A(28T_0) = A(0) \exp(28 \frac{T_0}{\tau_A}) = 0,2$$

$$\Rightarrow \frac{e^{28 \frac{T_0}{\tau_A}}}{e^{16 \frac{T_0}{\tau_A}}} = \frac{0,2}{0,05} \Rightarrow e^{12 \frac{T_0}{\tau_A}} = 4 \Rightarrow 12 \frac{T_0}{\tau_A} = \ln 4 \Rightarrow \frac{T_0}{\tau_A} \approx 0,1$$

13. L'hypothèse $T_0 \ll \tau_A$ est juste vérifiée

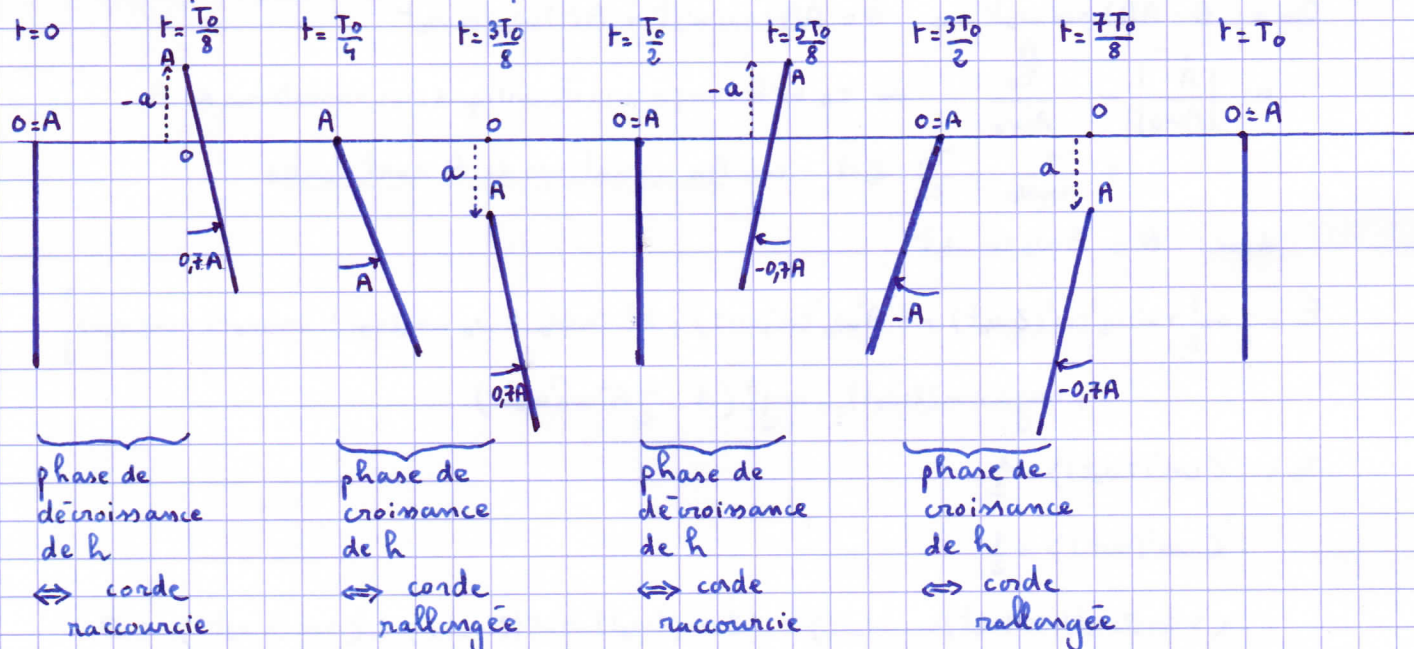
14. L'amplification repose sur la condition $\Omega = 2\omega_0$.

Au voisinage de la résonance, les oscillations ne sont plus de faible amplitude.

La période propre n'est plus égale à T_0 mais supérieure.

La condition $\Omega = 2\omega_0$ n'est plus vérifiée, l'amplification cesse et l'amplitude décroît.

15. On représente l'évolution du pendule sur une période, avec: $h = -a \sin(2\omega_0 t)$ et $\theta = A \sin(\omega_0 t)$



En résumé:

- il faut raccourcir la corde quand le pendule est à la verticale ($\theta=0$)
- il faut rallonger la corde quand le pendule a son élongation maximale ($|h|=A$)

II. Stabilisation dynamique: pendule inversé

16. figure de gauche: $C_{I_1} \text{ car } \theta(0) = 0,4\pi$. Le pendule oscille autour de $\theta = 0$
 figure de droite: $C_{I_2} \text{ car } \theta(0) = 0,6\pi$. Le pendule oscille autour de $\theta = \pi$

17. On compte environ 17 petites oscillations dans une période T_0 . Donc: $T_{\text{ex}} = \frac{T_0}{17}$
 A.N: $T_{\text{ex}} = 50 \text{ ms}$

18. A l'équilibre ($\ddot{\theta} = 0$), l'équation (6) devient: $\omega_0^2(1 + G_0 \sin \Psi) \sin \theta = 0$
 Elle est vérifiée par $\theta = \pi$
 $\theta = \pi$ est donc une position d'équilibre du pendule et on peut envisager des oscillations autour de celle-ci.

19. D'après la question 4, le moment résultant en A des forces est: $\Gamma = -m(g - \ddot{h})l \sin \theta$

$$\text{Soit: } \Gamma = -ml(g + a\omega_0^2 \sin \Psi) \sin(\theta_0 + \varepsilon_1 \sin \Psi) \quad \text{avec: } \theta = \theta_0 + \varepsilon_1 = \theta_0 + \varepsilon_1 \sin \Psi$$

$$= -ml(g + a\omega_0^2 \sin \Psi)[\sin \theta_0 \cdot \cos(\varepsilon_1 \sin \Psi) + \sin(\varepsilon_1 \sin \Psi) \cdot \cos \theta_0]$$

$$\approx -ml(g + G_0 g \sin \Psi)[\sin \theta_0 + \varepsilon_1 \sin \Psi \cdot \cos \theta_0] \quad \text{à l'ordre 1 en } \varepsilon_1,$$

$$\text{Le moment algébrique moyen est: } \Gamma(\theta_0) = \frac{\Gamma(\Psi = -\frac{\pi}{2}) + \Gamma(\Psi = \frac{\pi}{2})}{2}$$

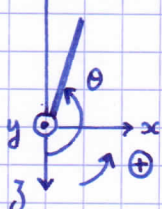
$$\text{Soit: } \Gamma(\theta_0) = \frac{-mgl(1 - G_0)[\sin \theta_0 - \varepsilon_1 \cos \theta_0] - mgl(1 + G_0)[\sin \theta_0 + \varepsilon_1 \cos \theta_0]}{2}$$

$$= -\frac{mgl}{2}[\sin \theta_0 - \varepsilon_1 \cos \theta_0 - G_0 \sin \theta_0 + G_0 \varepsilon_1 \cos \theta_0 + \sin \theta_0 + \varepsilon_1 \cos \theta_0 + G_0 \sin \theta_0 + \varepsilon_1 G_0 \cos \theta_0]$$

$$= -mgl(\sin \theta_0 + \varepsilon_1 G_0 \cos \theta_0)$$

$$\text{or: } g = l\omega_0^2 \quad \text{donc: } \Gamma(\theta_0) = -\Gamma^*(\sin \theta_0 + \varepsilon_1 G_0 \cos \theta_0)$$

- 20.



Pour $\theta_0 \in [\frac{\pi}{2}, \pi]$ le poids tend à faire tourner le pendule dans le sens négatif.

Pour contrerbalancer l'effet du poids, il faut que le moment algébrique moyen soit > 0 :

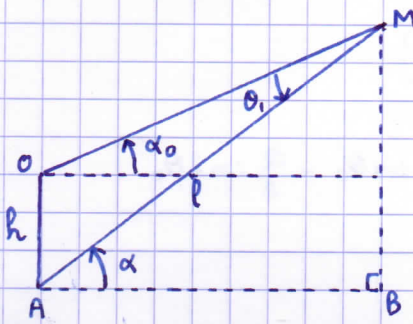
$$\Gamma(\theta_0) > 0 \Rightarrow \sin \theta_0 + \varepsilon_1 G_0 \cos \theta_0 < 0$$

21. Pour avoir des oscillations, il faut: $\Gamma(\theta_0) > 0$ sur $[\frac{\pi}{2}, \pi]$ et $\Gamma(\theta_0) < 0$ sur $[\pi, \frac{3\pi}{2}]$

$$\text{Sur } [\frac{\pi}{2}, \pi]: \sin \theta_0 + \varepsilon_1 G_0 \cos \theta_0 < 0 \quad \text{avec } \sin \theta_0 > 0 \text{ et } \cos \theta_0 < 0 \Rightarrow \varepsilon_1 > 0$$

$$\text{Sur } [\pi, \frac{3\pi}{2}]: \sin \theta_0 + \varepsilon_1 G_0 \cos \theta_0 > 0 \quad \text{avec } \sin \theta_0 < 0 \text{ et } \cos \theta_0 < 0 \Rightarrow \varepsilon_1 < 0$$

- 22.



$$\text{On a: } \cos \alpha = \frac{AB}{l} \quad \text{et} \quad \cos \alpha_0 = \frac{AB}{OM}$$

$$\Rightarrow l \cos \alpha = OM \cos \alpha_0$$

$$\Rightarrow l \cos(\alpha_0 + \theta_1) = OM \cos \alpha_0$$

$$\Rightarrow l[\cos \alpha_0 \cos \theta_1 - \sin \alpha_0 \sin \theta_1] = OM \cos \alpha_0$$

$$\Rightarrow l \cos \alpha_0 - \theta_1 l \sin \alpha_0 = OM \cos \alpha_0 \quad \text{car } 10,1 \ll 1$$

On calcule OM : $\overrightarrow{OM} = \overrightarrow{OA} + \overrightarrow{AM} \rightarrow OM^2 = OA^2 + AM^2 + 2\overrightarrow{OA} \cdot \overrightarrow{AM}$

$$= h^2 + l^2 - 2hl \cos(\frac{\pi}{2} - \alpha)$$

$$= l^2(1 - 2\frac{h}{l} \sin \alpha + \frac{l^2}{h^2})$$

$$\rightarrow OM \approx l(1 - \frac{h}{l} \sin \alpha)$$

$$\approx l(1 - \frac{h}{l} \sin \alpha_0) \text{ au premier ordre en } \frac{h}{l}$$

donc: $l \cos \alpha_0 - \theta_1 l \sin \alpha_0 = (l - h \sin \alpha_0) \cos \alpha_0$

$$\theta_1 l \sin \alpha_0 = a \sin \Psi \sin \alpha_0 \cos(\theta_0 - \frac{\pi}{2}) \Rightarrow \theta_1 = \frac{a}{l} \sin \Psi \sin \theta_0$$

23. (6) $\ddot{\theta}_0 + \ddot{\theta}_1 + \omega_0^2(1 + G_0 \sin \Psi) \sin(\theta_0 + \theta_1) = 0$

$$\ddot{\theta}_0 + \ddot{\theta}_1 + \omega_0^2(1 + G_0 \sin \Psi)[\sin \theta_0 \cdot \cos \theta_1 + \sin \theta_1 \cdot \cos \theta_0] = 0$$

$$\ddot{\theta}_0 + \ddot{\theta}_1 + \omega_0^2(1 + G_0 \sin \Psi)(\sin \theta_0 + \theta_1 \cos \theta_0) = 0 \quad (\theta_1 \ll 1)$$

$$\ddot{\theta}_0 + \ddot{\theta}_1 + \omega_0^2(1 + G_0 \sin \Psi)(\sin \theta_0 + \frac{a}{l} \sin \Psi \sin \theta_0 \cos \theta_0) = 0$$

$$\ddot{\theta}_0 + \ddot{\theta}_1 + \omega_0^2(1 + G_0 \sin \Psi) \sin \theta_0 + \omega_0^2(1 + G_0 \sin \Psi) \frac{a}{2l} \sin \Psi \sin 2\theta_0 = 0$$

on calcule: $\ddot{\theta}_1 = \frac{a}{l} [\ddot{\theta}_0 \cos \theta_0 \sin \Psi - \dot{\theta}_0^2 \sin \theta_0 \sin \Psi + 2\Omega \dot{\theta}_0 \cos \theta_0 \cos \Psi - \Omega^2 \sin \theta_0 \sin \Psi]$

On calcule maintenant les moyennes temporelles sur $T_{ex} = \frac{2\pi}{\Omega}$ avec: $\Psi = \Omega t + \phi$
 $\theta_0 \text{ figé}$

$$\Rightarrow \langle \sin \Psi \rangle = 0 \text{ et } \langle \cos \Psi \rangle = 0 \Rightarrow \langle \ddot{\theta}_1 \rangle = 0$$

$$\langle \sin^2 \Psi \rangle = \frac{1}{2}$$

il reste: $\ddot{\theta}_0 + \omega_0^2 \sin \theta_0 + \omega_0^2 G_0 \frac{a}{4l} \sin 2\theta_0 = 0$

$$\ddot{\theta}_0 + \omega_0^2(\sin \theta_0 + Q \sin 2\theta_0) = 0 \quad \text{avec: } Q = \frac{G_0 a}{4l} = \frac{1}{4} \left(\frac{a}{l}\right)^2 \left(\frac{\Omega}{\omega_0}\right)^2$$

24. Cette équation redonne celle de la question 2 pour $Q=0$, i.e. $\Omega=0$.

25. (9). $\dot{\theta}_0 \Rightarrow \dot{\theta}_0 \ddot{\theta}_0 + \omega_0^2(\dot{\theta}_0 \sin \theta_0 + Q \dot{\theta}_0 \sin 2\theta_0) = 0$

$$\Rightarrow \frac{\dot{\theta}_0^2}{2} - \omega_0^2 \cos \theta_0 - \omega_0^2 Q \frac{\cos 2\theta_0}{2} = \text{conste}$$

on multiplie par ml^2 pour faire apparaître l'énergie cinétique $E_c = \frac{1}{2} ml^2 \dot{\theta}^2$

donc: $\frac{1}{2} ml^2 \dot{\theta}^2 - ml^2 \omega_0^2 (\cos \theta_0 + \frac{1}{2} Q \cos 2\theta_0) = \text{conste}$

⇒ énergie potentielle effective: $E_{eff} = -ml^2 \omega_0^2 (\cos \theta_0 + \frac{1}{2} Q \cos 2\theta_0) + \text{conste}$

On veut $E_{eff} = 0$ pour $\theta_0 = 0$ et $Q = 0 \Rightarrow 0 = -ml^2 \omega_0^2 + \text{conste} \Rightarrow \text{conste} = ml^2 \omega_0^2$

donc: $E_{eff} = ml^2 \omega_0^2 [1 - \cos \theta_0 - \frac{Q}{2} \cos 2\theta_0]$

On a donc: $E_{eff}^* = ml^2 \omega_0^2$ et $f(\theta_0) = 1 - \cos \theta_0 - \frac{Q}{2} \cos 2\theta_0$

26. Conservation de l'énergie mécanique:

$$E_c + E_{eff} = conste = E$$

$$\Rightarrow E_c = E - E_{eff} > 0$$

On trace la droite horizontale associée à l'énergie mécanique constante E . Les valeurs de θ_0 accessibles sont celles pour lesquelles la courbe $E_{eff}(\theta_0)$ est située sous cette droite.

figure 3 gauche:

$$\begin{aligned} E &= E_c(r=0) + E_{eff}(r=0) \\ &= 0 + E_{eff}(\theta_0 = 0,4\pi) \\ &= E_{eff}^* f(0,4\pi) \end{aligned}$$

Le tracé de $\frac{E}{E_{eff}^*} = f(0,4\pi)$

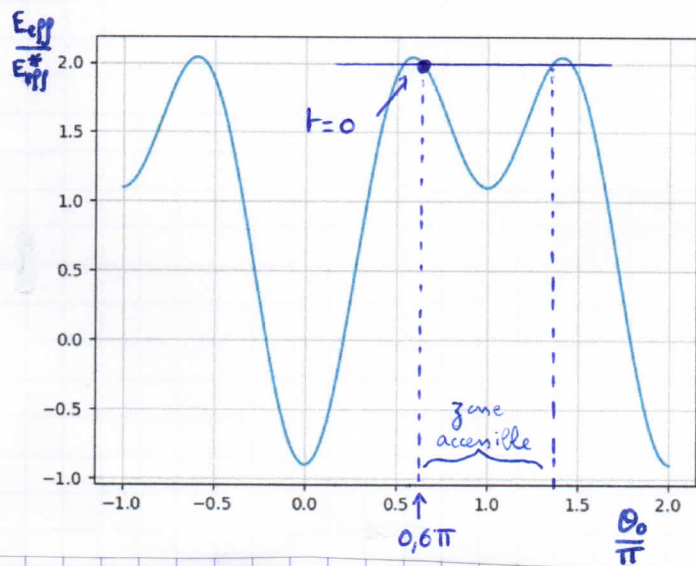
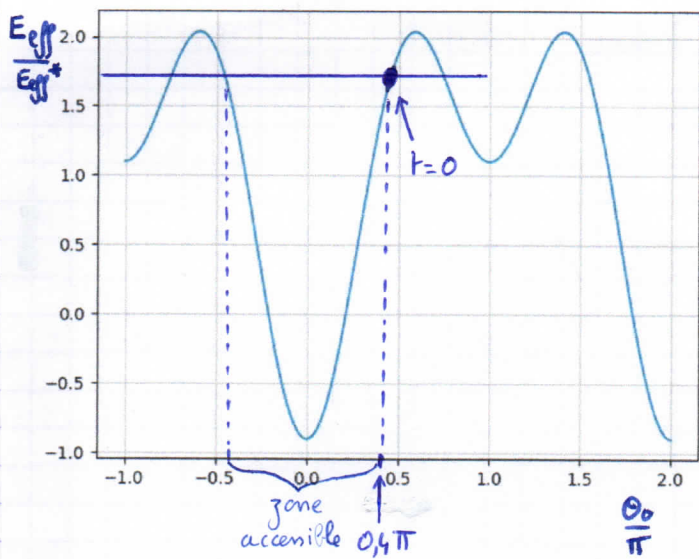
montre que le pendule oscille autour de $\theta_0 = 0$

figure 3 droite:

$$E = E_{eff}^* f(0,6\pi)$$

Le tracé de $\frac{E}{E_{eff}^*} = f(0,6\pi)$

montre que le pendule oscille autour de $\theta_0 = \pi$



27. L'approximation parabolique d'un puits de potentiel donne:

$$E_{eff}(\theta_0) = E_{eff}(\theta_{0eq}) + \frac{1}{2} (\theta_0 - \theta_{0eq})^2 \left(\frac{d^2 E_{eff}}{d\theta_0^2} \right)_{\theta_{0eq}}$$

On a l'équivalent d'un ressort de raideur apparente: $k_e = \left(\frac{d^2 E_{eff}}{d\theta_0^2} \right)_{\theta_{0eq}}$

D'où une période d'oscillation: $T_0 = 2\pi \sqrt{\frac{m}{k_e}}$

Le puits autour de $\theta_0 = 0$ est plus "pointu" que le puits autour de $\theta_0 = \pi$

$$\Rightarrow \left(\frac{d^2 E_{eff}}{d\theta_0^2} \right)_{\theta_0=0} > \left(\frac{d^2 E_{eff}}{d\theta_0^2} \right)_{\theta_0=\pi} \Rightarrow k_e(\theta_0=0) > k_e(\theta_0=\pi) \Rightarrow T_0(\theta_0=0) < T_0(\theta_0=\pi)$$

 28. Pour observer des oscillations autour de $\theta_0 = \pi$, il faut que: $\left(\frac{d^2 E_{eff}}{d\theta_0^2} \right)_{\theta_0=\pi} > 0$

$$\text{On calcule: } \frac{d^2 E_{eff}}{d\theta_0^2} = ml^2 \omega_0^2 [\cos \theta_0 + 2Q \sin(2\theta_0)]$$

$$\left(\frac{d^2 E_{eff}}{d\theta_0^2} \right)_{\theta_0=\pi} = ml^2 \omega_0^2 [-1 + 2Q]$$

$$\left(\frac{d^2 E_{eff}}{d\theta_0^2} \right)_{\theta_0=\pi} > 0 \Rightarrow Q > Q_c = \frac{1}{2}$$

29. On lit sur la courbe : $f(\theta_0 = 0) = -0,9$
On a par ailleurs : $f(\theta_0 = 0) = -\frac{Q}{2}$ D'où : $Q = 1,8$

La condition $Q > Q_c = 0,5$ est vérifiée.

30. On repart de $\ddot{\theta}_0 + \omega_0^2 (\sin \theta_0 + Q \sin 2\theta_0) = 0$

Autour de $\theta_{eq} = 0$: $\ddot{\theta}_0 + \omega_0^2 (1 + 2Q) \theta_0 = 0$ en linéarisant

$$\text{d'où : } \boxed{\omega_p^* = \omega_0 \sqrt{1+2Q}}$$

Autour de $\theta_{eq} = \pi$: on pose $\theta_0 = \pi + v$ $|v| \ll \pi$

$$\ddot{v} + \omega_0^2 (\sin(\pi+v) + Q \sin(2\pi+2v)) = 0$$

$$\ddot{v} + \omega_0^2 (-1 + 2Q) v = 0$$

$$\text{d'où : } \boxed{\omega_h^* = \omega_0 \sqrt{2Q-1}}$$

Si Q est trop grand, l'hypothèse : $\Omega \gg \omega_p^*$ ou ω_h^* est remise en cause

31. ϕ intervient dans $\sin \psi = \sin(\Omega t + \phi)$

La démarche consistant à raisonner en moyenne temporelle sur $T_{osc} = \frac{2\pi}{\Omega}$ fait disparaître ϕ donc ne permet pas d'étudier son influence.